

И. С. АХМЕДЬЯНОВ

## МАЛЫЕ УПРУГО-ПЛАСТИЧЕСКИЕ ДЕФОРМАЦИИ СФЕРИЧЕСКОЙ ОБОЛОЧКИ ПРИ ОСЕСИММЕТРИЧНОМ НАГРУЖЕНИИ

### ОСНОВНЫЕ ОБОЗНАЧЕНИЯ

- $R$  — радиус срединной поверхности сферической оболочки;  
 $\delta$  — толщина оболочки;  
 $\psi$  — угол между нормалью к срединной поверхности и осью оболочки;  
 $\epsilon_1, \epsilon_2, \kappa_1, \kappa_2$  — деформации срединной поверхности оболочки;  
 $q_t, q_n$  — проекции поверхностной нагрузки, отнесенной к единице площади срединной поверхности оболочки, на касательную и нормаль к меридиану оболочки;  
 $N_1, N_2$  — нормальные усилия;  
 $M_1, M_2$  — изгибающие моменты;  
 $E$  — модуль упругости материала оболочки;

$$l = \frac{d^2}{d\psi^2} + \operatorname{ctg} \psi \frac{d}{d\psi} + 1, \quad m = \frac{R}{\delta}, \quad \nu = 12m^2.$$

\* \* \*

В работе получена система нелинейных дифференциальных уравнений, описывающих малые упруго-пластические деформации сферической оболочки при осесимметричном нагружении. Эта система уравнений решается методом упругих решений А. А. Ильюшина [1]. Выведены формулы для вычисления усилий, моментов и перемещений, возникающих в сферической оболочке при осесимметричном изгибе за пределом упругости. В заключение приведены результаты численного расчета упруго-пластических деформаций сферической оболочки, нагруженной равномерно распределенным внутренним давлением.

1. Используя основные соотношения, полученные А. А. Ильиным [1] для исследования пластических деформаций тонких оболочек, можно вывести следующие формулы, определяющие нормальные усилия  $N_1$ ,  $N_2$  и изгибающие моменты  $M_1$ ,  $M_2$  в сферической оболочке при осесимметричном изгибе за пределом упругости:

$$N_1 = \frac{1}{3} E \delta (3\varepsilon + \zeta - 4m\alpha), \quad (1)$$

$$N_2 = \frac{1}{3} E \delta (3\varepsilon - \zeta - 4m\beta), \quad (2)$$

$$M_1 = \frac{E \delta^2}{36m} (3\kappa + \tau - 48m^3 \eta), \quad (3)$$

$$M_2 = \frac{E \delta^2}{36m} (3\kappa - \tau - 48m^3 \Theta). \quad (4)$$

В этих выражениях:

$$\varepsilon = \varepsilon_1 + \varepsilon_2, \quad \zeta = \varepsilon_1 - \varepsilon_2, \quad (5)$$

$$\kappa = R(x_1 + x_2), \quad \tau = R(x_1 - x_2), \quad (6)$$

$$\left. \begin{array}{l} \alpha \\ \beta \end{array} \right\} = \frac{\mu_0}{8m} (3\varepsilon \pm \zeta) + \frac{\mu_1}{16m^2} (3\kappa \pm \tau), \quad (7)$$

$$\left. \begin{array}{l} \eta \\ \Theta \end{array} \right\} = \frac{\mu_1}{16m^2} (3\varepsilon \pm \zeta) + \frac{\mu_2}{32m^3} (3\kappa \pm \tau), \quad (8)$$

$$\mu_n = \int_{-1}^1 \omega t^n dt, \quad t = \frac{2z}{\delta}, \quad \omega = 1 - \frac{\sigma_i}{E \varepsilon_i}, \quad (9)$$

$z$  — расстояние произвольной точки оболочки от ее срединной поверхности, измеряемое вдоль внешней нормали,

$\sigma_i$  — интенсивность напряжений,

$\varepsilon_i$  — интенсивность деформаций,

$$\varepsilon_i = \sqrt{\gamma_0 + \gamma_1 t + \gamma_2 t^2}, \quad (10)$$

$$\gamma_0 = \varepsilon^2 + \frac{1}{3} \zeta^2, \quad \gamma_1 = \frac{1}{m} \left( \varepsilon \kappa + \frac{1}{3} \zeta \tau \right), \quad \gamma_2 = \frac{1}{4m^2} \left( \kappa^2 + \frac{1}{3} \tau^2 \right). \quad (11)$$

Подставляя выражения (1)–(4) в уравнения равновесия сферической оболочки [2] и принимая во внимание условия неразрывности деформаций срединной поверхности [3, 8], приходим к следующей системе нелинейных дифференциальных уравнений относительно  $\varepsilon$ ,  $\zeta$ ,  $\kappa$  и  $\tau$ :

$$l(\varepsilon) + \frac{1}{2} \varepsilon = -\frac{1}{2} \kappa + X_p + X_q, \quad (12)$$

$$l(\kappa) - \frac{1}{2} \kappa = \frac{3}{2} \nu \varepsilon + Y_p + Y_q, \quad (13)$$

$$\zeta' + 2\zeta \operatorname{ctg} \phi = \frac{4}{1+\nu} (\varepsilon' - \varkappa') - 3\varepsilon' + Z_p + Z_q, \quad (14)$$

$$\tau' + 2\tau \operatorname{ctg} \phi = -\frac{4\nu}{1+\nu} (\varepsilon' - \varkappa') - 3\varkappa' + Z_p + Z_q. \quad (15)$$

Здесь:

$$X_p = m [\alpha'' + (2\alpha' - \beta') \operatorname{ctg} \phi + 2\beta], \quad (16)$$

$$Y_p = m\nu [\eta'' + (2\eta' - \Theta') \operatorname{ctg} \phi + 2\Theta] - m\nu (\alpha + \beta + \eta + \Theta), \quad (17)$$

$$Z_p = \frac{4m\nu}{1+\nu} [\alpha' + \eta' + (\alpha - \beta + \eta - \Theta) \operatorname{ctg} \phi], \quad (18)$$

$$X_q = -\frac{3m}{4E} (q_t' + q_t \operatorname{ctg} \phi - q_n), \quad (19)$$

$$Y_q = -\frac{3m\nu}{4E} q_n, \quad Z_q = -\frac{3m\nu}{(1+\nu)E} q_t. \quad (20)$$

Штрих означает производную по аргументу  $\psi$ .

2. Интегрирование нелинейных уравнений (12)—(15) будем вести методом последовательных приближений (методом упругих решений А. А. Ильюшина [1]). В качестве исходного (нулевого) приближения принимаем решение системы, которая получается из (12)—(15) при  $X_p = Y_p = Z_p = 0$  или, что одно и то же,

$$\alpha = \beta = \eta = \Theta = 0. \quad (21)$$

Равенства (21) имеют место при  $\omega = 0$ . Отсюда следует, что решение нулевого приближения будет соответствовать некоторому упругому напряженному состоянию сферической оболочки при условии несжимаемости материала (коэффициент Пуассона  $\mu = 0,5$ ). Обозначая через  $\varepsilon^{(0)}$ ,  $\varkappa^{(0)}$ ,  $\eta^{(0)}$ ,  $\tau^{(0)}$  решение уравнений (12)—(15) при  $\omega = 0$ , будем иметь [8]:

$$\varepsilon^{(0)} = \gamma [C_1^{(0)} p_1 + D_1^{(0)} q_1 + C_2^{(0)} p_2 + D_2^{(0)} q_2] + \varepsilon_q, \quad (22)$$

$$\varkappa^{(0)} = -[A_1^{(0)} p_1 + B_1^{(0)} q_1 + A_2^{(0)} p_2 + B_2^{(0)} q_2] + \varkappa_q, \quad (23)$$

$$\zeta^{(0)} = \frac{2kC_0^{(0)}}{\sin^2 \phi} - 3\gamma [C_1^{(0)} r_1 + D_1^{(0)} s_1 + C_2^{(0)} r_2 + D_2^{(0)} s_2] + \zeta_q, \quad (24)$$

$$\tau^{(0)} = -[A_1^{(0)} r_1 + B_1^{(0)} s_1 + A_2^{(0)} r_2 + B_2^{(0)} s_2] + \tau_q. \quad (25)$$

Здесь:

$\varepsilon_q, \varkappa_q, \zeta_q$  и  $\tau_q$  — частное решение рассматриваемой системы, определяемое поверхностной нагрузкой  $q_t$  и  $q_n$ ,

$C_0^{(0)}, C_1^{(0)}, D_1^{(0)}, C_2^{(0)}$  и  $D_2^{(0)}$  — произвольные постоянные,

$$A_1^{(0)} = \gamma [C_1^{(0)} - 2\lambda D_1^{(0)}], \quad B_1^{(0)} = \gamma [D_1^{(0)} + 2\lambda C_1^{(0)}], \quad (26)$$

$$\gamma = \frac{1}{18m^2}, \quad \lambda = \frac{1}{2} \sqrt{36m^2 - 1}, \quad k = \frac{3}{4\pi E \delta R},$$

$$p_1(\psi) = \varphi_1 - \lambda \omega_1, \quad q_1(\psi) = \omega_1 + \lambda \tau_1, \quad (27)$$

$$r_1(\psi) = g_1 + p_1, \quad s_1(\psi) = h_1 + q_1, \quad (28)$$

$$g_1(\psi) = 2\varphi_1' \operatorname{ctg} \psi, \quad h_1(\psi) = 2\omega_1' \operatorname{ctg} \psi. \quad (29)$$

Значения постоянных  $A_2^{(0)}$ ,  $B_2^{(0)}$  и функций  $p_2$ ,  $q_2$ ,  $r_2$ ,  $s_2$ ,  $g_2$  и  $h_2$  вычисляются по формулам, которые получаются из выражений (26)—(29) изменением индекса 1 на 2.

Функции  $\varphi_1$ ,  $\omega_1$ ,  $\varphi_2$  и  $\omega_2$  определяются из соотношений

$$\varphi_1 + i\omega_1 = \sigma_1, \quad \varphi_2 + i\omega_2 = \sigma_2, \quad (30)$$

где  $\sigma_1$  и  $\sigma_2$  — линейно независимые частные решения дифференциального уравнения

$$\chi(1-x) \frac{d^2 \sigma}{dx^2} + (1-2x) \frac{d\sigma}{dx} + (1+i\lambda)\sigma = 0,$$

представленные в виде степенных рядов [4, 6, 9]:

$$\sigma_1 = F(\alpha, \beta, \gamma, x), \quad \sigma_2 = F(\alpha, \beta, \gamma, 1-x), \quad (31)$$

причем

$$\alpha = \frac{1 + \sqrt{5 + 4\lambda i}}{2}, \quad \beta = 1 - \alpha, \quad \gamma = 1, \quad x = \sin^2 \frac{\psi}{2}.$$

Располагая решением (22)—(25) нулевого приближения, можно найти решение системы (12)—(15) в следующем, первом приближении. Для этого, воспользовавшись формулами (11), (10), (9), (7) и (8) вычисляем, исходя из решения (22)—(25), значения функций  $\alpha^{(0)}$ ,  $\beta^{(0)}$ ,  $\gamma^{(0)}$  и  $\Theta^{(0)}$  нулевого приближения, которые дают возможность определить функции  $X_p^{(0)}$ ,  $Y_p^{(0)}$  и  $Z_p^{(0)}$  нулевого приближения и далее записать уравнения, определяющие решение исходной системы (12)—(15) в первом приближении. Это решение, которое мы обозначим через  $\varepsilon^{(1)}$ ,  $\zeta^{(1)}$ ,  $x^{(1)}$  и  $\tau^{(1)}$ , служит основой для получения решения уравнений (12)—(15) во втором приближении и т. д.

Для приближения, номер которого  $n$  ( $n = 1, 2, \dots$ ), будем иметь

$$\varepsilon^{(n)} = \gamma [C_1^{(n)} p_1 + D_1^{(n)} q_1 + C_2^{(n)} p_2 + D_2^{(n)} q_2] + \varepsilon_p^{(n)} + \varepsilon_q, \quad (32)$$

$$x^{(n)} = - [A_1^{(n)} p_1 + B_1^{(n)} q_1 + A_2^{(n)} p_2 + B_2^{(n)} q_2] + x_p^{(n)} + x_q, \quad (33)$$

$$\zeta^{(n)} = \frac{2kC_0^{(n)}}{\sin^2 \psi} - 3\gamma [C_1^{(n)} r_1 + D_1^{(n)} s_1 + C_2^{(n)} r_2 + D_2^{(n)} s_2] + \zeta_p^{(n)} + \zeta_q, \quad (34)$$

$$\tau^{(n)} = - [A_1^{(n)} r_1 + B_1^{(n)} s_1 + A_2^{(n)} r_2 + B_2^{(n)} s_2] + \tau_p^{(n)} + \tau_q. \quad (35)$$

Здесь  $\varepsilon_p^{(n)}$ ,  $x_p^{(n)}$ ,  $\zeta_p^{(n)}$  и  $\tau_p^{(n)}$  — частное решение системы уравнений:

$$l[\varepsilon_p^{(n)}] + \frac{1}{2} \varepsilon_p^{(n)} = -\frac{1}{2} x_p^{(n)} + X_p^{(n-1)}, \quad (36)$$

$$l[x_p^{(n)}] - \frac{1}{2} x_p^{(n)} = \frac{3}{2} v \varepsilon_p^{(n)} + Y_p^{(n-1)}, \quad (37)$$

$$\zeta_p^{(n)'} + 2\zeta_p^{(n)} \operatorname{ctg} \psi = \frac{4}{1+v} [\varepsilon_p^{(n)'} - x_p^{(n)'}] - 3\varepsilon_p^{(n)'} + Z_p^{(n-1)}, \quad (38)$$

$$\tau_p^{(n)'} + 2\tau_p^{(n)} \operatorname{ctg} \psi = -\frac{4v}{1+v} [\varepsilon_p^{(n)'} - x_p^{(n)'}] - 3x_p^{(n)'} + Z_p^{(n-1)}. \quad (39)$$

Решение этих уравнений целесообразно искать, преобразовав их в систему интегральных уравнений. Это преобразование дает возможность найти искомое частное решение, не содержащее производных от функций  $\alpha^{(n-1)}$ ,  $\beta^{(n-1)}$ ,  $\eta^{(n-1)}$  и  $\Theta^{(n-1)}$ , получаемых не в аналитическом виде, а в виде некоторой совокупности числовых значений.

Для получения интегральных уравнений перепишем уравнения (36) — (39) в виде:

$$[\varepsilon_p^{(n)'} \sin \phi] = \left[ -\frac{3}{2} \varepsilon_p^{(n)} - \frac{1}{2} x_p^{(n)} + X_p^{(n-1)} \right] \sin \phi,$$

$$[x_p^{(n)'} \sin \phi] = \left[ -\frac{1}{2} x_p^{(n)} + \frac{3}{2} \nu \varepsilon_p^{(n)} + Y_p^{(n-1)} \right] \sin \phi,$$

$$[\zeta_p^{(n)} \sin^2 \phi] = \left\{ \frac{4}{1+\nu} [\varepsilon_p^{(n)'} - x_p^{(n)'}] - 3\varepsilon_p^{(n)'} + Z_p^{(n-1)} \right\} \sin^2 \phi,$$

$$[\tau_p^{(n)} \sin^2 \phi] = \left\{ -\frac{4\nu}{1+\nu} [\varepsilon_p^{(n)'} - x_p^{(n)'}] - 3x_p^{(n)'} + Z_p^{(n-1)} \right\} \sin^2 \phi,$$

и затем проинтегрируем их (воспользовавшись методом интегрирования по частям). Заменяя, далее, в первых двух полученных уравнениях неизвестные функции  $\varepsilon_p^{(n)}$  и  $x_p^{(n)}$ , стоящие под знаками интегралов, на известные  $\varepsilon_p^{(n-1)}$  и  $x_p^{(n-1)}$ , придем к следующим приближенным выражениям для  $\varepsilon_p^{(n)}$ ,  $x_p^{(n)}$ ,  $\zeta_p^{(n)}$  и  $\tau_p^{(n)}$ :

$$\varepsilon_p^{(n)} = m\alpha^{(n-1)} + \frac{1}{\sin \phi} \int_{\psi_0}^{\psi} [F_1^{(n-1)} \cos \phi - \int_{\psi_0}^{\psi} G_1^{(n-1)} \sin \phi d\phi] d\phi, \quad (40)$$

$$x_p^{(n)} = m\nu\eta^{(n-1)} + \frac{1}{\sin \phi} \int_{\psi_0}^{\psi} [F_2^{(n-1)} \cos \phi - \int_{\psi_0}^{\psi} G_2^{(n-1)} \sin \phi d\phi] d\phi, \quad (41)$$

$$\begin{aligned} \zeta_p^{(n)} &= \frac{4m\nu}{1+\nu} [\alpha^{(n-1)} + \eta^{(n-1)}] - \frac{3\nu-1}{1+\nu} \varepsilon_p^{(n-1)} - \\ &- \frac{4}{1+\nu} x_p^{(n)} - \frac{1}{\sin^2 \phi} \int_{\psi_0}^{\psi} H_1^{(n-1)} \sin \phi \cos \phi d\phi, \end{aligned} \quad (42)$$

$$\begin{aligned} \tau_p^{(n)} &= \frac{4m\nu}{1+\nu} [\alpha^{(n-1)} + \eta^{(n-1)}] + \frac{\nu-3}{1+\nu} x_p^{(n)} - \\ &- \frac{4\nu}{1+\nu} \varepsilon_p^{(n)} - \frac{1}{\sin^2 \phi} \int_{\psi_0}^{\psi} H_2^{(n-1)} \sin \phi \cos \phi d\phi. \end{aligned} \quad (43)$$

Здесь:

$$F_1^{(n-1)} = \varepsilon_p^{(n-1)} - m\beta^{(n-1)}, \quad (44)$$

$$G_1^{(n-1)} = \frac{3}{2} \varepsilon_p^{(n-1)} + \frac{1}{2} x_p^{(n-1)} - m[\alpha^{(n-1)} + \beta^{(n-1)}]. \quad (45)$$

$$F_2^{(n-1)} = x_p^{(n-1)} - m\nu\Theta^{(n-1)}, \quad (46)$$

$$G_2^{(n-1)} = \frac{1}{2} \kappa_p^{(n-1)} - \frac{3}{2} \nu \varepsilon_p^{(n-1)} + m\nu [\alpha^{(n-1)} + \beta^{(n-1)}], \quad (47)$$

$$H_1^{(n-1)} = \frac{4m\nu}{1+\nu} [\alpha^{(n-1)} + \beta^{(n-1)} + \eta^{(n-1)} + \Theta^{(n-1)}] - \frac{6\nu-2}{1+\nu} \varepsilon_p^{(n)} - \frac{8}{1+\nu} \kappa_p^{(n)}, \quad (48)$$

$$H_2^{(n-1)} = \frac{4m\nu}{1+\nu} [\alpha^{(n-1)} + \beta^{(n-1)} + \eta^{(n-1)} + \Theta^{(n-1)}] + \frac{2\nu-6}{1+\nu} \kappa_p^{(n)} - \frac{8\nu}{1+\nu} \varepsilon_p^{(n)}, \quad (49)$$

$\phi_0$  — начальное значение угла  $\phi$ .

Расчет величин  $\varepsilon^{(n)}$ ,  $\kappa^{(n)}$ ,  $\zeta^{(n)}$  и  $\tau^{(n)}$  по формулам (32)—(35) заканчивается, как только разница между двумя следующими друг за другом приближениями станет достаточно малой.

Постоянные интегрирования  $C_0^{(n)}$ ,  $C_1^{(n)}$ ,  $D_1^{(n)}$ ,  $C_2^{(n)}$  и  $D_2^{(n)}$  для каждого приближения определяются отдельно (в соответствии с граничными условиями).

После того, как по приведенной схеме будет получено решение уравнений (12)—(15), можно найти распределение напряжений в точках наружной ( $z = \frac{\delta}{2}$ ) и внутренней ( $z = -\frac{\delta}{2}$ ) поверхностей оболочки, воспользовавшись формулами

$$\left. \begin{aligned} \sigma_1 \left( \frac{\delta}{2} \right) \\ \sigma_2 \left( \frac{\delta}{2} \right) \end{aligned} \right\} = \frac{1}{3} E \left[ 1 - \omega \left( \frac{\delta}{2} \right) \right] \left[ 3\varepsilon \pm \zeta + \frac{1}{2m} (3\kappa \pm \tau) \right], \quad (50)$$

$$\left. \begin{aligned} \sigma_1 \left( -\frac{\delta}{2} \right) \\ \sigma_2 \left( -\frac{\delta}{2} \right) \end{aligned} \right\} = \frac{1}{3} E \left[ 1 - \omega \left( -\frac{\delta}{2} \right) \right] \left[ 3\varepsilon \pm \zeta - \frac{1}{2m} (3\kappa \pm \tau) \right]. \quad (51)$$

Для перемещений  $u$  и  $w$  точек срединной поверхности оболочки в соответствии с формулами [2]

$$u = C \sin \phi + R \sin \phi \int_{\phi_0}^{\phi} \frac{\varepsilon_1 - \varepsilon_2}{\sin \psi} d\psi, \quad w = R\varepsilon_2 - u \operatorname{ctg} \phi$$

будем иметь следующие выражения

$$u^{(n)} = C^{(n)} \sin \phi + kRC_0^{(n)} \left( \sin \phi \ln \operatorname{tg} \frac{\psi}{2} - \operatorname{ctg} \phi \right) + \frac{3}{2} \gamma R [C_1^{(n)} g_1 + D_1^{(n)} h_1 + C_2^{(n)} g_2 + D_2^{(n)} h_2] \operatorname{tg} \phi + u_p^{(n)} + u_q, \quad (52)$$

$$w^{(n)} = -C^{(n)} \cos \phi - kRC_0^{(n)} \left( 1 + \cos \phi \ln \operatorname{tg} \frac{\psi}{2} \right) + \frac{3}{2} \gamma R [C_1^{(n)} p_1 + D_1^{(n)} q_1 + C_2^{(n)} p_2 + D_2^{(n)} q_2] + w_p^{(n)} + w_q, \quad (53)$$

В которых

$$u_p^{(n)} = R \sin \psi \int_{\psi_0}^{\psi} \frac{\zeta_p^{(n)}}{\sin \psi} d\psi, \quad \omega_p^{(n)} = R \varepsilon_{2p}^{(n)} - u_p^{(n)} \operatorname{ctg} \psi, \quad (54)$$

$$u_q = R \sin \psi \int_{\psi_0}^{\psi} \frac{\zeta_q}{\sin \psi} d\psi, \quad \omega_q = R \varepsilon_{2q} - u_q \operatorname{ctg} \psi, \quad (55)$$

$$\varepsilon_{2p}^{(n)} = \frac{\varepsilon_p^{(n)} - \zeta_p^{(n)}}{2}; \quad \varepsilon_{2q} = \frac{\varepsilon_q - \zeta_q}{2}. \quad (56)$$

$C^{(n)}$  — произвольная постоянная.

Угол поворота  $\vartheta$  нормали к срединной поверхности оболочки найдем, исходя из зависимости

$$\vartheta = R \alpha_2 \operatorname{tg} \psi$$

и формул (6), (33) и (35):

$$\vartheta^{(n)} = \frac{1}{2} [A_1^{(n)} g_1 + B_1^{(n)} h_1 + A_2^{(n)} g_2 + B_2^{(n)} h_2] \operatorname{tg} \psi + \vartheta_p^{(n)} + \vartheta_q, \quad (57)$$

$$\vartheta_p^{(n)} = R \alpha_{2p}^{(n)} \operatorname{tg} \psi = \frac{\alpha_p^{(n)} - \tau_p^{(n)}}{2} \operatorname{tg} \psi, \quad (58)$$

$$\vartheta_q = \frac{\alpha_q - \tau_q}{2} \operatorname{tg} \psi. \quad (59)$$

Наконец, для перерезывающей силы  $Q$ , получаем:

$$Q^{(n)} = \left[ N_1^{(n)} - \frac{\Phi(\psi)}{2\pi R \sin^2 \psi} \right] \operatorname{tg} \psi, \quad (60)$$

$\Phi(\psi)$  — равнодействующая всех сил, приложенных к части оболочки, ограниченной параллелями, соответствующими углам  $\psi_0$  и  $\psi$ .

3. В случае упругих деформаций вместо системы уравнений (12) — (15) будем иметь следующую систему:

$$l(\varepsilon) + \mu \varepsilon = -(1 - \mu) \alpha + X_q, \quad (61)$$

$$l(\alpha) - \mu \alpha = \nu(1 + \mu) \varepsilon + Y_q, \quad (62)$$

$$\zeta' + 2\zeta \operatorname{ctg} \psi = \frac{2}{(1 - \mu)(1 + \nu)} (\varepsilon' - \alpha') - \frac{1 + \mu}{1 - \mu} \varepsilon' + Z_q, \quad (63)$$

$$\tau' + 2\tau \operatorname{ctg} \psi = -\frac{2\nu}{(1 - \mu)(1 + \nu)} (\varepsilon' - \alpha') - \frac{1 + \mu}{1 - \mu} \alpha' + Z_q'. \quad (64)$$

Здесь

$$X_q = -\frac{m(1 - \mu^2)}{E} (q_t' + q_t \operatorname{ctg} \psi - q_n), \quad (65)$$

$$Y_q = -\frac{m\nu(1 - \mu^2)}{E} q_n, \quad Z_q = -\frac{2m\nu(1 + \mu)}{(1 + \nu)E} q_t, \quad (66)$$

$\mu$  — коэффициент Пуассона.

Решение уравнений (61)–(64):

$$\varepsilon = 2\gamma(1 - \mu)(C_1 p_1 + D_1 q_1 + C_2 p_2 + D_2 q_2) + \varepsilon_q, \quad (67)$$

$$\varkappa = -(A_1 p_1 + B_1 q_1 + A_2 p_2 + B_2 q_2) + \varkappa_q, \quad (68)$$

$$\zeta = \frac{2kC_0}{\sin^2 \psi} - 2\gamma(1 + \mu)(C_1 r_1 + D_1 s_1 + C_2 r_2 + D_2 s_2) + \zeta_q, \quad (69)$$

$$\tau = -(A_1 r_1 + B_1 s_1 + A_2 r_2 + B_2 s_2) + \tau_q, \quad (70)$$

причем

$$\gamma = \frac{1}{24m^2(1 - \mu^2)} = \frac{D}{2E\delta R^2}, \quad D = \frac{E\delta^3}{12(1 - \mu^2)}, \quad k = \frac{1 + \mu}{2\pi E\delta R},$$

$$A_1 = 2\gamma(\mu C_1 - \lambda D_1), \quad B_1 = 2\gamma(\mu D_1 + \lambda C_1). \quad (71)$$

$C_0, C_1, D_1, C_2$  и  $D_2$  — произвольные постоянные.

Формулы для усилий, моментов и перемещений:

$$N_1 = \frac{E\delta}{2(1 - \mu^2)} [(1 + \mu)\varepsilon + (1 - \mu)\zeta],$$

$$N_2 = \frac{E\delta}{2(1 - \mu^2)} [(1 + \mu)\varepsilon - (1 - \mu)\zeta], \quad (72)$$

$$M_1 = \frac{D}{2R} [(1 + \mu)\varkappa + (1 - \mu)\tau],$$

$$M_2 = \frac{D}{2R} [(1 + \mu)\varkappa - (1 - \mu)\tau], \quad (73)$$

$$u = C \sin \psi + kRC_0 \left( \sin \psi \ln \operatorname{tg} \frac{\psi}{2} - \operatorname{ctg} \psi \right) +$$

$$+ 2\gamma(1 + \mu)R(C_1 g_1 + D_1 h_1 + C_2 g_2 + D_2 h_2) \operatorname{tg} \psi + u_q, \quad (74)$$

$$w = -C \cos \psi - kRC_0 \left( 1 + \cos \psi \ln \operatorname{tg} \frac{\psi}{2} \right) +$$

$$+ 2\gamma R(C_1 p_1 + D_1 q_1 + C_2 p_2 + D_2 q_2) + w_q, \quad (75)$$

$$\vartheta = \frac{1}{2}(A_1 g_1 + B_1 h_1 + A_2 g_2 + B_2 h_2) \operatorname{tg} \psi + \vartheta_q. \quad (76)$$

При действии равномерно распределенного давления ( $q_t = 0$ ,  $q_n = q$ ):

$$\varepsilon_q = \frac{m(1 - \mu)}{E} q, \quad \zeta_q = 0, \quad \varkappa_q = \tau_q = 0, \quad \vartheta_q = 0. \quad (77)$$

4. При сложном напряжении состоянии тела зависимость между интенсивностью напряжений  $\sigma_i$  и интенсивностью деформаций  $\varepsilon_i$  в каждой его точке принимается такой же, как зависимость между напряжением  $\sigma$  и удлинением  $\varepsilon$  при простом растяжении [1, 5]. Эта зависимость для большинства материалов при малых относительных деформациях ( $\varepsilon < 0,02$ ) может быть схематически представлена в виде двух отрезков прямых, соединенных между собой некоторой плавной кривой [5] (фиг. 1). Тогда при  $0 \leq \varepsilon_i \leq \varepsilon_e$  будем иметь:

$$\sigma_i = E\varepsilon_i. \quad (78)$$

Если же  $\varepsilon_i \geq \varepsilon_0$ , то, как следует из фиг. 1,

$$\sigma_i = \sigma_0 + E'(\varepsilon_i - \varepsilon_0). \quad (79)$$

Для значений  $\varepsilon_i$ , удовлетворяющих условию  $\varepsilon_e \leq \varepsilon_i \leq \varepsilon_0$ , зависимость между  $\sigma_i$  и  $\varepsilon_i$  можно принять в виде:

$$\sigma_i = \sigma_0 + E'(\varepsilon_i - \varepsilon_0) - A(\varepsilon_0 - \varepsilon_i)^n. \quad (80)$$

Здесь  $A$  и  $n$  — постоянные величины. Определим их из условий:

$$\sigma_i = \sigma_e, \quad \frac{d\sigma_i}{d\varepsilon_i} = E$$

при  $\varepsilon_i = \varepsilon_e$ . В результате будем иметь:

$$n = \frac{E - E'}{E'' - E'}$$

$$A = \frac{\sigma_0 - \sigma_e - E'(\varepsilon_0 - \varepsilon_e)}{(\varepsilon_0 - \varepsilon_e)^n} = \frac{E'' - E'}{(\varepsilon_0 - \varepsilon_e)^{n-1}}. \quad (81)$$

Имея в виду, что

$$\omega = 1 - \frac{\sigma_i}{E\varepsilon_i},$$

находим:

$$\omega = 0$$

при  $0 \leq \varepsilon_i \leq \varepsilon_e$ ;

$$\omega = a - \frac{b}{\varepsilon_i} + \frac{c}{\varepsilon_i}(\varepsilon_0 - \varepsilon_i)^n, \quad (82)$$

при  $\varepsilon_e \leq \varepsilon_i \leq \varepsilon_0$ ;

$$\omega = a - \frac{b}{\varepsilon_i}, \quad (83)$$

при  $\varepsilon_i \geq \varepsilon_0$ , причем,

$$a = 1 - \frac{E'}{E}, \quad b = \frac{\sigma_0 - E'\varepsilon_0}{E}, \quad c = \frac{E'' - E'}{E(\varepsilon_0 - \varepsilon_e)^{n-1}}. \quad (84)$$

Пусть для некоторого материала известно, что

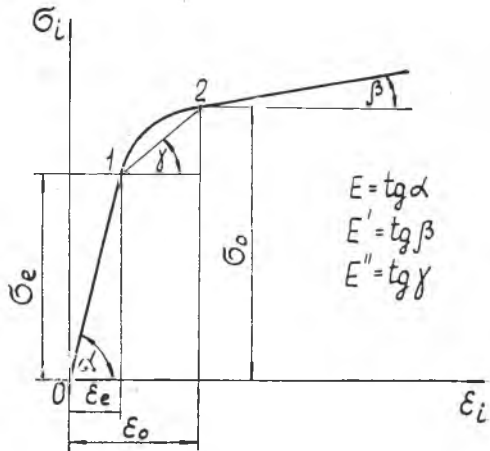
$$\sigma_e = 1,3 \cdot 10^3 \text{ дан/см}^2, \quad \varepsilon_e = 2 \cdot 10^{-3}, \quad E = 6,5 \cdot 10^5 \text{ дан/см}^2,$$

$$\sigma_0 = 1,75 \cdot 10^3 \text{ дан/см}^2, \quad \varepsilon_0 = 6 \cdot 10^{-3}, \quad E' = 1 \cdot 10^4 \text{ дан/см}^2.$$

Пользуясь приведенными выше формулами, находим:

$$E'' = 1,125 \cdot 10^5 \text{ дан/см}^2, \quad n = 6,2439, \quad A = 3,8485 \cdot 10^{17},$$

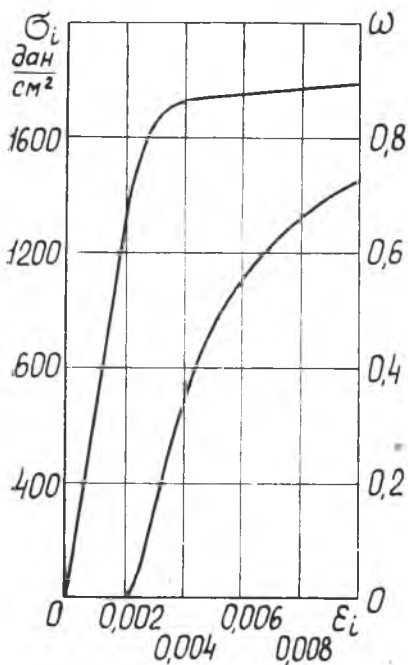
$$a = 9,8462 \cdot 10^{-1}, \quad b = 2,6 \cdot 10^{-3}, \quad c = 5,9207 \cdot 10^{11}.$$



Фиг. 1.

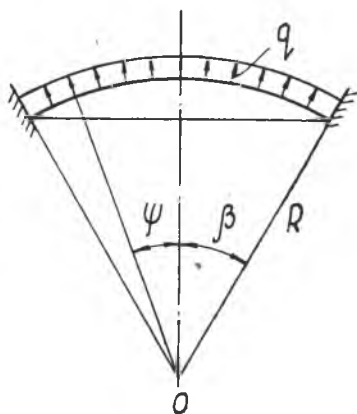
Далее по формулам (82)—(83) вычисляем значения  $\omega$  в зависимости от  $\epsilon_i$ . Результаты расчетов представлены на фиг. 2. Здесь же приведена соответствующая зависимость

$$\sigma_i = f(\epsilon_i).$$



Фиг. 2.

5. Рассмотрим теперь пример расчета малых упругопластических деформаций сферического днища, жестко защемленного по краю  $\psi = \beta_0$  и нагруженного внутренним равномерно распределенным давлением  $q$  (фиг. 3).



Фиг. 3.

Так как рассматриваемая оболочка замкнута в вершине, то из условия конечности усилий, моментов и перемещений в оболочке следует, что

$$C_0^{(n)} = 0, C_2^{(n)} = D_2^{(n)} = 0.$$

Тогда в соответствии с формулами (77), выражения (32)—(35) будут иметь вид:

$$\epsilon^{(n)} = \gamma [C_1^{(n)} p_1 + D_1^{(n)} q_1] + \epsilon_p^{(n)} + \frac{m}{2E} q, \quad (85)$$

$$\chi^{(n)} = - [A_1^{(n)} p_1 + B_1^{(n)} q_1] + \chi_p^{(n)}, \quad (86)$$

$$\zeta^{(n)} = - 3\gamma [C_1^{(n)} r_1 + D_1^{(n)} s_1] + \zeta_p^{(n)}, \quad (87)$$

$$\tau^{(n)} = - [A_1^{(n)} r_1 + B_1^{(n)} s_1] + \tau_p^{(n)}. \quad (88)$$

Для определения произвольных постоянных  $C_1^{(n)}$  и  $D_1^{(n)}$  имеем следующие условия:

при  $\psi = \beta_0$ : 1)  $\varepsilon_2^{(n)} = 0$ , 2)  $\mu^{(n)} = 0$ , или в развернутом виде:

$$C_1^{(n)} [3g_1(\beta_0) + 4p_1(\beta_0)] + D_1^{(n)} [3h_1(\beta_0) + 4q_1(\beta_0)] = \\ = -\frac{1}{\gamma} [\varepsilon_p^{(n)}(\beta_0) - \zeta_p^{(n)}(\beta_0)] - \frac{m}{2\gamma} \frac{q}{E}, \quad (89)$$

$$C_1^{(n)} [g_1(\beta_0) + 2\lambda h_1(\beta_0)] + D_1^{(n)} [h_1(\beta_0) - 2\lambda g_1(\beta_0)] = \\ = -\frac{1}{\gamma} [\chi_p^{(n)}(\beta_0) - \tau_p^{(n)}(\beta_0)]. \quad (90)$$

Напомним, что в исходном (нулевом) приближении

$$\varepsilon_p^{(0)} = \zeta_p^{(0)} = 0, \quad \chi_p^{(0)} = \tau_p^{(0)} = 0.$$

Приведем результаты численного расчета оболочки, для которой

$$\lambda = 1000, \quad \beta_0 = 30^\circ, \quad q = 7,2 \text{ дан/см}^2.$$

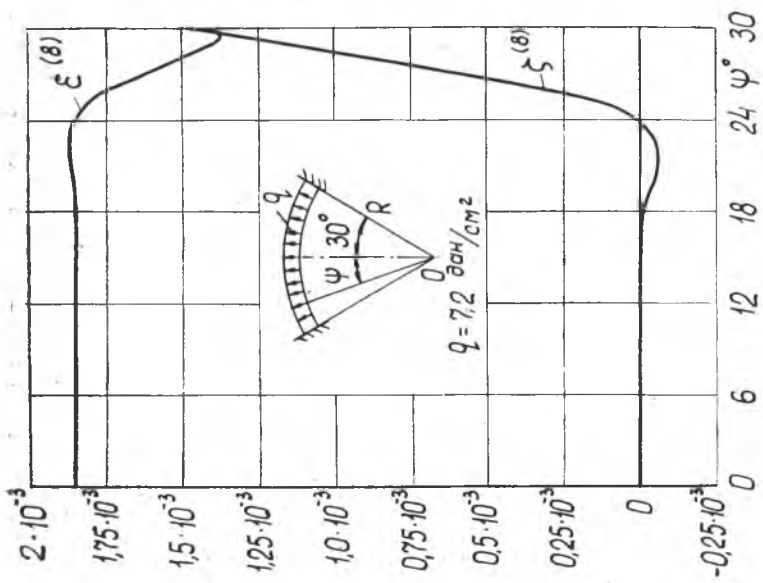
Значению  $\lambda = 1000$  при  $\mu = 0,5$  соответствует отношение  $m = \frac{R}{\delta} = 333,33$ .

При проведении расчетов предполагалось, что оболочка изготовлена из материала, для которого зависимость  $\omega = f(\varepsilon_i)$  имеет вид, показанный на фиг. 2.

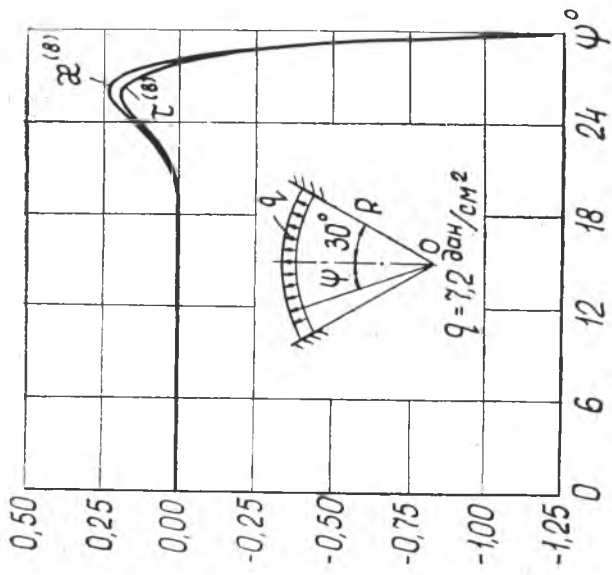
Вычисления деформаций и напряжений, выполненные по приведенным выше формулам, дали следующие результаты\*. Распределение величин  $\varepsilon$ ,  $\zeta$ ,  $\chi$  и  $\tau$  для последнего (восьмого) приближения имеет вид, представленный на фиг. 4 и 5. Соответствующее распределение безразмерных отношений напряжений в точках наружной ( $z = \frac{\delta}{2}$ ) и внутренней ( $z = -\frac{\delta}{2}$ ) поверхностей оболочки к величине действующего давления  $q = 7,2 \text{ дан/см}^2$  показано на фиг. 6. Кроме того, на этой фигуре пунктиром показаны отношения напряжений к давлению в предположении, что деформации и напряжения в оболочке продолжают оставаться упругими и при давлении  $q = 7,2 \text{ дан/см}^2$  (коэффициент Пуассона  $\mu = 0,5$ ). О степени сходимости примененного здесь метода упругих решений (метода последовательных приближений) можно судить по значениям  $\varepsilon$ ,  $\chi$  и отношений напряжений  $\sigma_1(-\frac{\delta}{2})$  и  $\sigma_1(\frac{\delta}{2})$  для защемленного края оболочки ( $\psi = 30^\circ$ ) к величине давления  $q = 7,2 \text{ дан/см}^2$  в зависимости от номера приближения  $n$ , приведенным в таблице 1.

В заключение отметим, что при отсутствии таблиц функций  $p_1$ ,  $q_1$ ,  $g_1$ ,  $h_1$ ,  $p_2$ ,  $q_2$ ,  $g_2$  и  $h_2$  можно воспользоваться их приближенными представлениями, приведенными в [8].

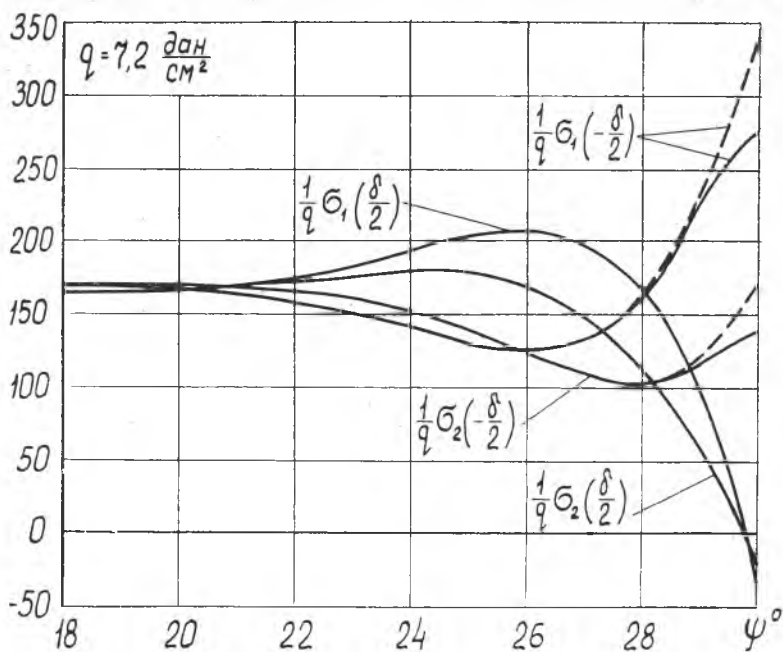
\* Составление программы и все вычисления на машине «Урал-2» были выполнены инж. Д. Г. Аминовой.



Фиг. 4.



Фиг. 5.



Фиг. 6.

Таблица I

$n$	$\varepsilon$	$\alpha$	$\frac{1}{q}\sigma_1\left(-\frac{\delta}{2}\right)$	$\frac{1}{q}\sigma_1\left(\frac{\delta}{2}\right)$
0	$1,327 \cdot 10^{-3}$	-1,002	270,2	-21,22
1	$1,405 \cdot 10^{-3}$	-1,140	274,1	-36,69
2	$1,456 \cdot 10^{-3}$	-1,170	275,0	-35,99
3	$1,478 \cdot 10^{-3}$	-1,183	275,3	-35,72
4	$1,488 \cdot 10^{-3}$	-1,195	275,5	-36,68
5	$1,494 \cdot 10^{-3}$	-1,203	275,6	-37,33
6	$1,497 \cdot 10^{-3}$	-1,207	275,7	-37,74
7	$1,500 \cdot 10^{-3}$	-1,210	275,7	-38,01
8	$1,501 \cdot 10^{-3}$	-1,212	275,8	-38,19

ЛИТЕРАТУРА

1. А. А. Ильющин. Пластичность, Гостехиздат, 1948.
2. З. Б. Канторович. Основы расчета химических машин и аппаратов, Машгиз, 1960.

3. В. В. Новожилов. Теория тонких оболочек, Судпромгиз, 1962.
  4. Н. Н. Лебедев. Специальные функции и их приложения, Гостехиздат, 1953.
  5. Н. И. Безухов. Теория упругости и пластичности, Гостехиздат, 1953.
  6. И. С. Ахмедьянов. Об одном методе интегрирования уравнений изгиба сферической оболочки при осесимметричном нагружении, ИВУЗ, «Авиационная техника», № 3, 1962.
  7. И. С. Ахмедьянов, Х. С. Хазанов. Расчет сферических оболочек при осесимметричном нагружении, Куйбышев, 1967.
  8. И. С. Ахмедьянов. Температурные напряжения в сферической оболочке при осесимметричном нагреве. Статья помещена в настоящем сборнике.
-